Моделиране на квантови изчисления в паралелна изпълнителна среда

Моделиране на квантови изчисления в паралелна изпълнителна среда

Милен Луканчевски

Русенски университет "Ангел Кънчев"

УДК 004.272 + 519.688

Моделиране на квантови изчисления в паралелна изпълнителна среда

© Автор д-р инж. Милен Луканчевски, 2013

Рецензенти: проф. д.т.н Райчо Иларионов, ТУ-Габрово

доц. д-р Лидия Георгиева, РУ "А. Кънчев"

Компютърна обработка: д-р инж. Милен Луканчевски

Националност на автора: **българска** Език на изданието: **български** Тип (жанр): **научен, монография**

Поредност: първо

ISBN 978-619-7071-25-2

Формат 64 х 90/16

Издателски център на Русенския университет "А. Кънчев", 2013.

На лицевата корица. В центъра: Схематично обозначение на концепцията "софтуерно-дефиниран силиций" на фирмата XMOS. Долу вляво: Точката на лазерния лъч върху екрана при няколкократно увеличение. Долу вдясно: Схема на квантовата телепортация.

На задната корица: Основните ресурси на ядрото *XCORE*.

Изследването и изданието са финансирани от автора и от ръководеното от него научно развойно направление *"Компютърни телекомуникационни системи"*.

"Не разбирам това, което не мога да създам." Ричард Фейнман

ПРЕДИСЛОВИЕ

лавните направления на развитие на компютърните архитектури на съвременния етап включват постепенен преход от последователния фоннойманов към паралелния изчислителен модел, както и изследването на възможностите за използване принципите на квантовата механика за съхранение, обработка и пренос на информацията.

Предпоставка за работите и при двете направления са физическите ограничения на класическия последователен изчислителен модел. Но докато при първото направление тези ограничения се преодоляват на макрониво, то при второто направление стремежът е да се използва скрития на квантово ниво потенциал за паралелна обработка.

От началото на 90-те години в катедра "Компютърни системи и технологии" на Русенския университет "А. Кънчев" се работи в областта на паралелните компютърни системи, което в голяма степен е стимулирано от резултатите в дисертационния труд на автора. Изследванията се основават на паралелния изчислителен модел *CSP* на Чарлз Хоар. Като елементна база са използвани скаларни микропроцесори с общо предназначение.

От 2009 година, както в изследователската, така и в учебната работа, авторът експериментира с новата *SMT/TLP* архитектура *XS1* на фирмата *XMOS*.

Като резултат от осмислянето на получените резултати и на основното противоречие в областта на компютърните архитектури и системи, авторът започва да развива от 2012 година тематика за изследване на квантовите явления чрез моделирането им в паралелна изпълнителна среда.

Възприет за водещ методологичен принцип е съвместното разглеждане на двете главни направления на развитие на компютърните архитектури: на макрониво и на квантово ниво. Акцентира се върху изоморфизма на изображението на структурата на изследвания обект или явление в модел с глобален структурен паралелизъм. Оттук произтича и избора на изпълнителната среда с глобален структурен паралелизъм XCORE/XC, базирана на SMT/ TLP архитектура XS1.

Като инициатор и ръководител на тези изследвания, авторът

се счита длъжен да представя в монографична форма найсъществените резултати от всеки отделен, логически завършен техен етап.

Предмет на тази монография са основните резултати от втория етап на изследванията. Те са свързани с моделирането в паралелната изпълнителна среда *XCORE/XC* на ключови за квантовите изчисления явления: поляризацията, суперпозицията, сплитането, квантовата телепортация. Предложени са паралелни структурни модели на посочените явления, като се използват два основни градивни елемента - активни (процеси, нишки, задачи) и пасивни (съобщения и канали).

Едновременно излиза от печат и другата монография, в която се обобщават резултатите от първия етап от изследванията, посветен на генераторите на случайни последователности в паралелната изпълнителна среда *XCORE/XC* [4].

По въпроси, свързани със съдържанието на работата, може да се обръщате на електронната поща mil@ieee.org на автора.

+++

Благодаря на своите студенти, участвали в работите. Сред тях безспорно се откроява маг. инж. Бисер Николов.

Възможността за провеждане на изследванията се дължат на подкрепата, която срещам от научно-изследователското направление "Компютърни телекомуникационни системи" към катедра "Компютърни системи и технологии" на Русенския университет "А. Кънчев", на което имам щастието и отговорността да съм ръководител от 1993 г.

Рецензентите на представената работа - проф. д.т.н. Райчо Иларионов и доц. д-р Лидия Георгиева помогнаха за повишаване нивото на работата чрез своите точни бележки и препоръки.

Благодаря на майка си - моят най-верен приятел, вдъхновител и ориентир!

Милен Луканчевски, IEEE Computer Society, IEEE Communications Society & ACM Member

Русе, ноември 2013 г.

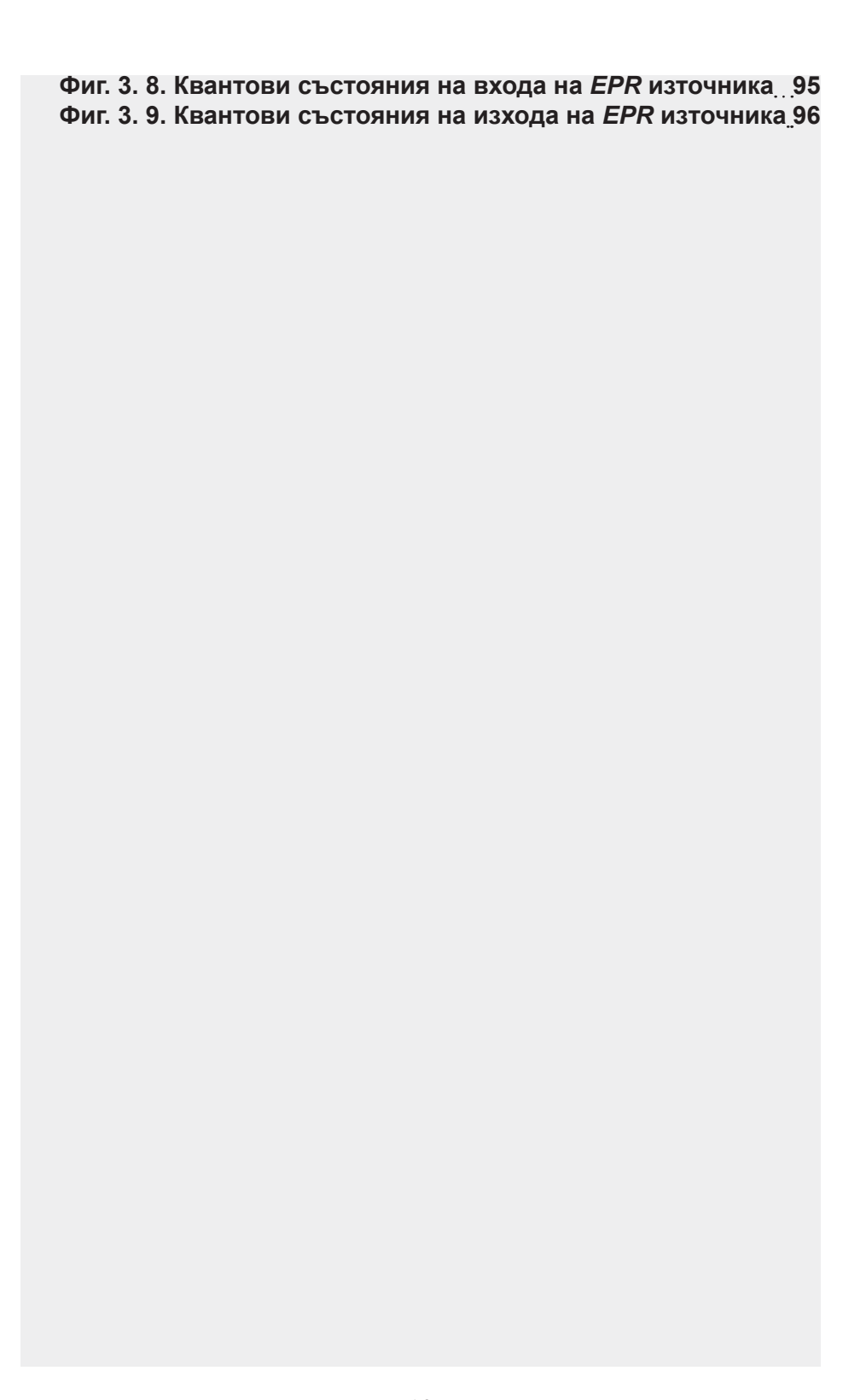
СЪДЪРЖАНИЕ

ПРЕДИСЛОВИЕ	7
СПИСЪК НА СЪКРАЩЕНИЯТА	13
ВЪВЕДЕНИЕ 1. ФОРМУЛИРОВКА НА ПРОБЛЕМА	16
1. ФОРМУЛИРОВКА НА ПРОБЛЕМА	24
1.1. ПАРАЛЕЛНА <i>SMT/TLP</i> ИЗПЪЛНИТЕЛНА СРЕДА	XCORE/XC
4.0. DAODOELLIGATIVO	25
1.2. PA3BOEH КИТ XC-2	33
1.3. КВАНТОВИ ИЗЧИСЛЕНИЯ	36
1.4. ЦЕЛ И ЗАДАЧИ НА ИЗСЛЕДВАНЕТО	45
2. ПАРАЛЕЛНИ СТРУКТУРНИ МОДЕЛИ НА	
ИЗЧИСЛЕНИЯ	46
2.1. КОНТРОЛЕН ПРИМЕР ЗА ИЗПОЛЗВАНЕ НА С	
PLACED PAR	48
2.2. ПАРАЛЕЛЕН МОДЕЛ НА ПОЛЯРИЗАЦИЯТА НА	••
2.3. ПАРАЛЕЛЕН МОДЕЛ НА СУПЕРПОЗИЦИЯТА НА	
2.4. ПАРАЛЕЛЕН МОДЕЛ НА КВАНТОВАТА ТЕЛЕПОВ	
1-QUBIT	/4
МОДЕЛИ	
ИЗВОДИ	
ЛИТЕРАТУРА	
ПРИЛОЖЕНИЯ ПРИЛОЖЕНИЕ П1: ПРОЕКТ QC-T000	107
ПРИЛОЖЕНИЕ ПТ: ПРОЕКТ QC-T000	
ПРИЛОЖЕНИЕ ПЗ: ПРОЕКТ QC-T010	
ПРИЛОЖЕНИЕ П4: ПРОЕКТ QC-T011	
ПРИЛОЖЕНИЕ П5: ПРОЕКТ QC-T012	
ПРИЛОЖЕНИЕ П6: ПРОЕКТ QC-T020	
THE PROPERTY OF THE CONTRACT O	102

СПИСЪК НА ФИГУРИТЕ И ТАБЛИЦИТЕ

Фиг. В1. Графика на развитието на производителността	
Фиг. В2. Графика на изменението на тактовата честота	
процесорите	.19
Фиг. 1.1. Структура на <i>CSP</i> машина	
Фиг. 1.2. Двуточково еднопосочно взаимодействие	
Фиг. 1.3. Връзка между абстрактната и реалната страна <i>CSP</i>	на 29
***************************************	30
Фиг. 1. 5. Обща структура на ядрото <i>XCORE</i> с архитекту	• •
XS1	30
Фиг. 1. 6. Обща структура на ядрото <i>XCORE</i> с нові	••
обозначения, приети от фирмата <i>XMOS</i>	
Фиг. 1. 7. Концепция софтуерно-дефиниран силиций	31
Фиг. 1. 8. Физическо разположение на основните компонен	
	33
Фиг. 1. 9. Блокова схема на апаратните ресурси, интегрира	ни
с паралелната машина [Б.14]	35
Фиг. 1. 10. Илюстрация на закона на <i>Мур</i> , източник: <i>Intel Co</i>	rp.
	36
Фиг. 1. 11. Графика на промяната на характеристичн	·шя
размер на интегралните схеми във времето	.37
Фиг. 1. 12. Сравнение на волтамперната характеристика	на
класически (вляво) и квантов (вдясно) кондензатор	.38
Фиг. 1. 13. Графика на промяната на количеството разсейва	зна
	.39
Фиг. 1. 14. Схематично представяне на квантов процес	op:
[A.8]	.40
Фиг. 1. 15. Квантов процесор с <i>EPR</i> изход [А.8]	41
Фиг. 1. 16. Вентилът на Адамар служи за суперпозиция	
входния 1-qubit	42
Фиг. 1. 17. Означение на универсалният 2-qubit CNOT вент	
	42
Фиг. 1. 18. Графично представяне на квантовия бит $ \psi angle_{}$	
Фиг. 2. 1. Линейно поляризирана електромагнитна вълна	
Фиг. 2. 2. Мястото на видимата светлина в електромагнитн	
спектър	.54
Фиг. 2. 3. Съответствие между попяризацията и 1-qubit [A	1.81

	55
Фиг. 2. 4. Матрично представяне на поляризацията [А.8]	56
Фиг. 2. 5. Поляризация – <i>опит 1</i>	
Фиг. 2. 6. Поляризация – <i>опит</i> 2	
Фиг. 2. 7. Поляризация – <i>опит 3</i>	
Фиг. 2. 8. Изработеният физически модел за изследване	
поляризацията	57
Фиг. 2. 9. Принципна схема на измервателната платка	
Фиг. 2. 10. Структурна схема на паралелния модел	на
поляризацията	59
Фиг. 2. 11. Формиране променливите на състоянието	
•	.61
Фиг. 2. 12. Количествени резултати от работата на модела	
поляризацията	
Фиг. 2. 13. Опитна постановка с един сплитер	
Фиг. 2. 14. Условно представяне на резултата от измервания	
по двата маршрута	
Фиг. 2. 15. Схема на интерферометъра на Мах-Цендер	
Фиг. 2. 16. Еквивалентна квантова верига на интерферометъ	-
•	65
Фиг. 2. 17. Структурна схема на паралелния модел	
интерферометъра на Мах-Цендер	
Фиг. 2. 18. Канална организация на процесите, моделира	
огледалата	74
Фиг. 2. 19. Схема на квантовата телепортация	76
Фиг. 2. 20. <i>EPR</i> източник Фиг. 2. 21. Еквивалентна квантова верига за телепортация	
Фиг. 2. 22. Структурна схема на паралелния модел	
квантовата телепортация	80
Фиг. 2. 23. Еквивалентна квантова верига на <i>CNOT</i> вентил	• •
Фиг. 3. 1. Основният екран на развойната среда	
	87
Фиг. 3. 2. Точка на прекъсване в края на изпълнението	• •
модела на поляризацията	
Фиг. 3. 3. Количествени резултати от изпълнението на моде	
на поляризацията	
Фиг. 3. 4. Предупреждения за неизползваните канали	ОТ
taskMirror()	
Фиг. 3. 5. Точка на прекъсване в края на изпълнението	на
модела на квантовата суперпозиция	.92
Фиг. 3. 6. Вътрешни променливи на фотодетекто	рa,
регистрирал фотона	.92
Фиг 3 7 Точка на прекъсване на изхода на FPR източника	94



СПИСЪК НА СЪКРАЩЕНИЯТА

- BSM Bell State Measurement (Процедура за измерване състоянията на максимално сплитане)
 - CAD Computer Aided Design (Автоматизирано проектиране)
 - CD Coder (Кодер)
- CISC Complex Instruction Set Computer (Компютър със сложна система инструкции)
- CNOT Controlled NOT (Управляван инвертор, 2-qubit квантов вентил)
- CSP Communicating Sequential Processes (Взаимодействащи последователни процеси)
- CRC Cyclic Redundancy Check (Цикличен контролен код, Полиномиален контролен код)
 - DC Decoder (Декодер)
 - DLP Data Level Parallelism (Паралелизъм на ниво данни)
- DSP Digital Signal Processor/Digital Signal Processing (Процесор за цифрова обработка на сигналите/Цифрова обработка на сигналите, ЦОС)
- EPR Einstein, Podolsky, Rosen (квантов парадокс, свързан с явлението *сплитане* или *entanglement*)
 - H Hadamard Gate (1-qubit квантов вентил на Адамар)
- ILP Instruction Level Parallelism (Паралелизъм на ниво инструкции, локален паралелизъм, базиран на конвейеризацията на инструкциите)
 - I/O Input/Output (Вход/Изход, В/И)
- JTAG Joint Test Action Group (Стандартен интерфейс за връзка между инструменталната и целевата машина)
- LCG Linear Congruental Generator (Линеен конгруентен генератор)
 - LE Light Emitter (Светлинен източник)
 - LD Light Detector (Фотодетектор)
- LFSR Linear Feedback Shift Register (Изместващ регистър с линейна обратна връзка)
- MAC Multiply And Accumulate (сложен оператор от вида "Умножи и натрупай", популярен при DSP)
- MIPS Million Instructions Per Second (единица за измерване на производителност милиони целочислени инструкции в секунда)
 - MLCG Multiplicative Linear Congruental Generator

- (Мултипликативен линеен конгруентен генератор)
- MPP Massively-Parallel Processors (Масово-паралелни процесори)
- OCCAM ОККАМ (Език за паралелно програмиране, базиран на CSP)
- MTP Multithreading Parallelism (многонишков паралелизъм, паралелизъм на ниво нишки)
 - OS Operating System (Операционна система, ОС)
- OSI Open Systems Interconnection (Теоретичен модел, описващ принципния начин на комуникация и строежа на компютърните мрежи)
 - OTP Once-Time Programmable Memory (Постоянна памет, ROM)
 - PHY Physical Layer (Физическото ниво от OSI модела)
- PRNG Pseudo-Random Number Generator (Генератор на псевдослучайни числа)
 - RCV Receiver (Приемник)
- RISC Reduced Instruction Set Computer (Компютър с опростена система инструкции)
- RNG Random Number Generator (Генератор на случайни числа)
- RRNG Real Random Number Generator (Генератор на действително-случайни последователности)
- SMT Simultaneous Multithreading (Едновременно многонишково изпълнение; общоприето название на апаратната технология, позволяваща едновременното изпълнение на няколко нишки; фирмата Intel използва обозначението Hyperthreading)
- SPI Serial Peripheral Interface Bus (Сериен периферен инртерфейс)
- SRAM Static Random-Access Memory (Статична памет с произволен достъп)
- STL Standard Template Library (Стандартна библиотека от шаблони на C++)
 - TLP Task Level Parallelism (Паралелизъм на ниво задачи)
- TRNG True Random Number Generator (Генератор на действително-случайни последователности)
- UVLSI Ultra Very Large Scale Integration (СГИС, Свръхголеми интегрални схеми)
 - USB Universal Serial Bus (Универсална серийна шина)
- VLIW Very Large Instruction Word (RISC архитектура с много голяма дължина на инструкцията; един от методите за явен ILP)
- VLSI Very Large Scale Integration (ГИС, Големи интегрални схеми)
 - XC XMOS C (паралелна версия на езика C за архитектурата XS1

на фирмата XMOS, разширение на езика С с паралелни конструкции, повечето от които се поддържат директно на апаратно ниво)

XCORE - паралелно ядро от фамилията XS1 на фирмата XMOS с глобален структурен паралелизъм; физическа реализация на CSP-машина с апаратна поддръжка на паралелизма

XCORE/XC - паралелна платформа на фирмата XMOS, базирана на паралелната архитектура XCORE и на езика за паралелно програмиране XC

XDE – XMOS Development Environment (Название на развойната среда на фирмата XMOS до версия 11; от версия 12 е част от окрупнената развойна среда xTIMEComposer Studio на фирмата XMOS; от ноември 2013 г. се предлага версия 13 в два варианта - xTIMEcomposer Community и xTIMEcomposer Enterprise)

XOR – Exclusive Or (Изключващо ИЛИ)

XS1 - Фамилия паралелна архитектура от типа XCORE на фирмата XMOS